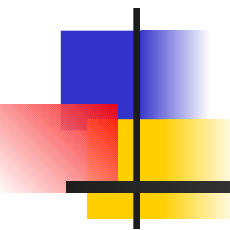




# **Testes preliminares de rodadas climáticas com Modelo Eta**

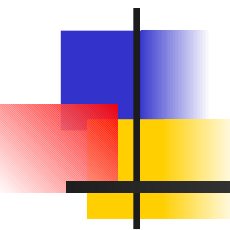
**Jose Fernando Pesquero**



# O balanço de umidade em caso de ZCAS em cenários climáticos futuros (2071-2100) sobre o Brasil

**Jose Fernando Pesquero**

Orientador: Dr. Carlos Afonso Nobre

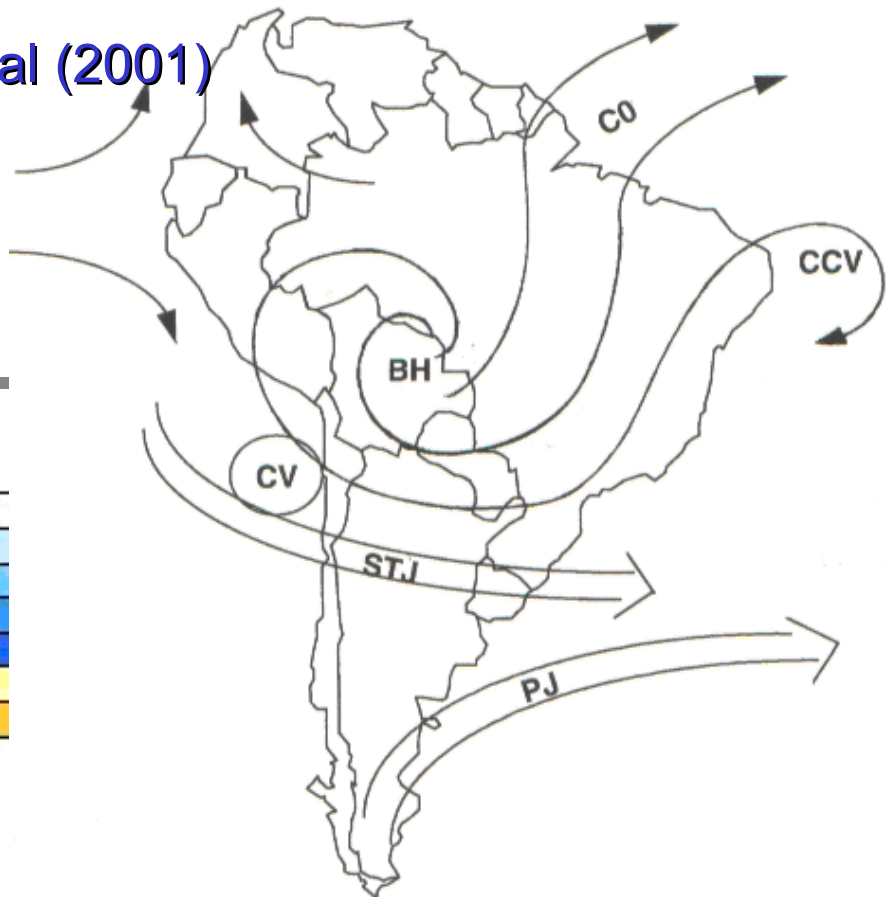
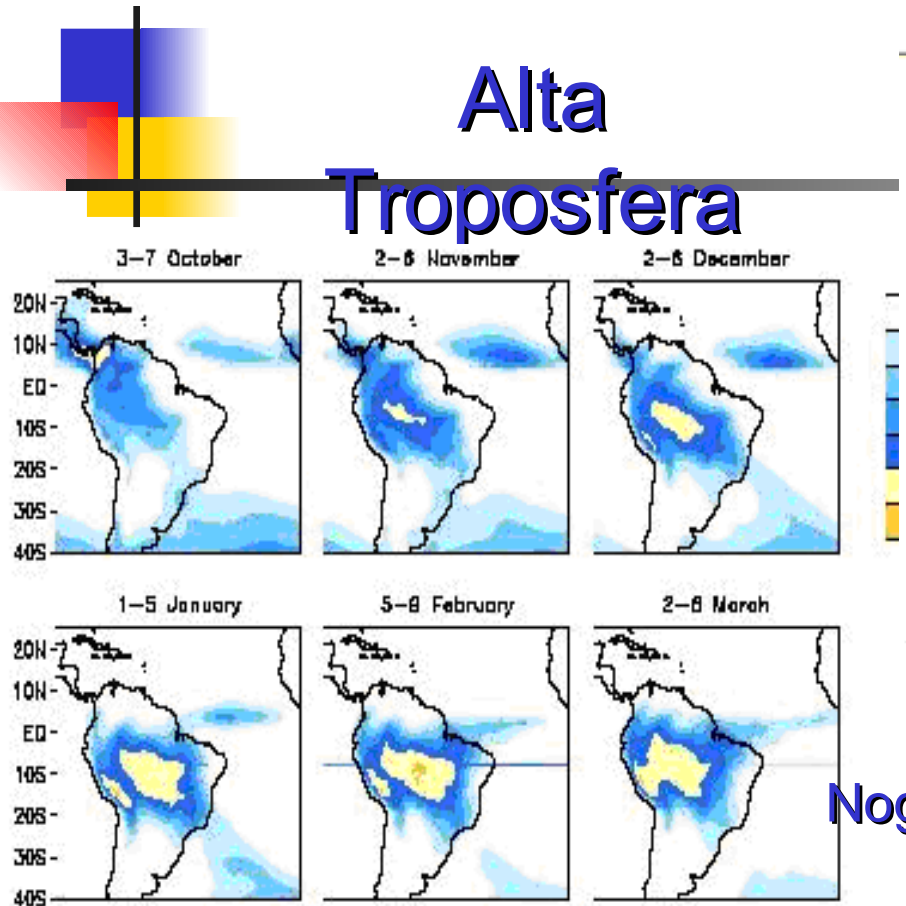


# Introdução

---

# Circulação de Verão sobre a América do Sul

Satyamurty et al (2001)

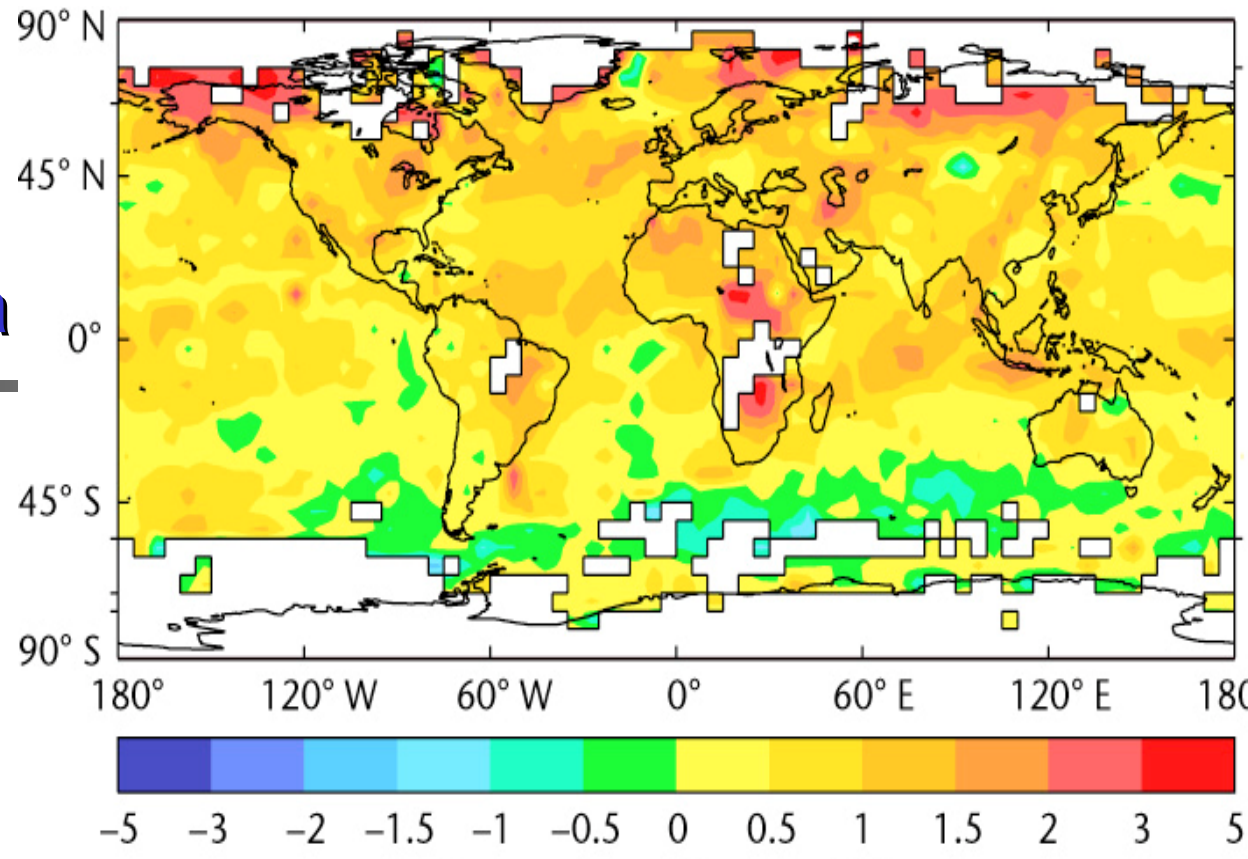


Nogués e Peagle (2001)  
Campo de ROL

# Mudanças Climáticas Globais

Anomalia  
Temperatura

Em graus  
Celsius

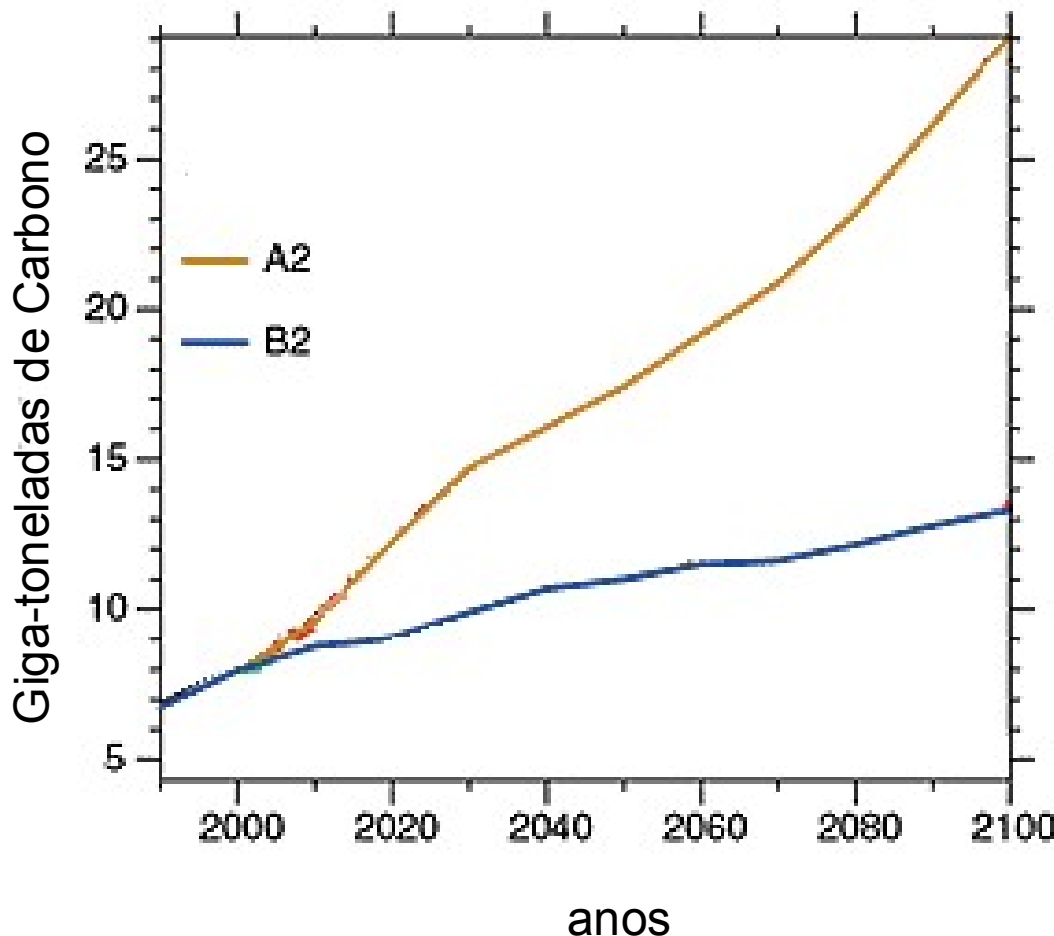


De janeiro a agosto de 2005  
Relativo a 1961-1990

# Cenários do IPCC (SRES-2000)

Padronizam as  
emissões de  
gases estufas  
no decorrer  
deste século

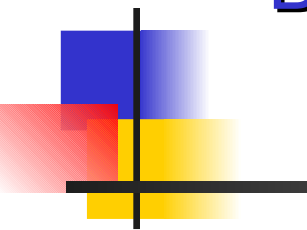
A1, A2, B1 e B2



Serão usados apenas os cenários A2 e B2!

# Hipótese com relação ao possível aumento da freqüência de casos de ZCAS em cenários futuros

Baseada no trabalho de Escobar e Costa (2005)

- 
- 1 - Configuração de bloqueio
  - 2 - Formação de ciclogênese costa Sul do Brasil
  - 3 - Passagem de Frentes Frias

Aquecimento global -> Gradiente de temperatura  
-> Jatos mais intensos -> Maior freqüência de frentes -> Maior freqüência de casos de ZCAS

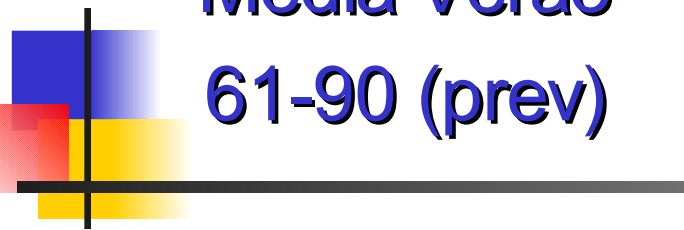
# Hipótese com relação à possível diminuição da freqüência de casos de ZCAS em cenários futuros

Segundo Trenberth (1999): os cientistas apontaram o aquecimento global como responsável pelas mudanças da freqüência de El Nino desde meados de 1970 e a ocorrência dos anos mais quentes do século foram devidas ao aquecimento do evento de 1997/1998

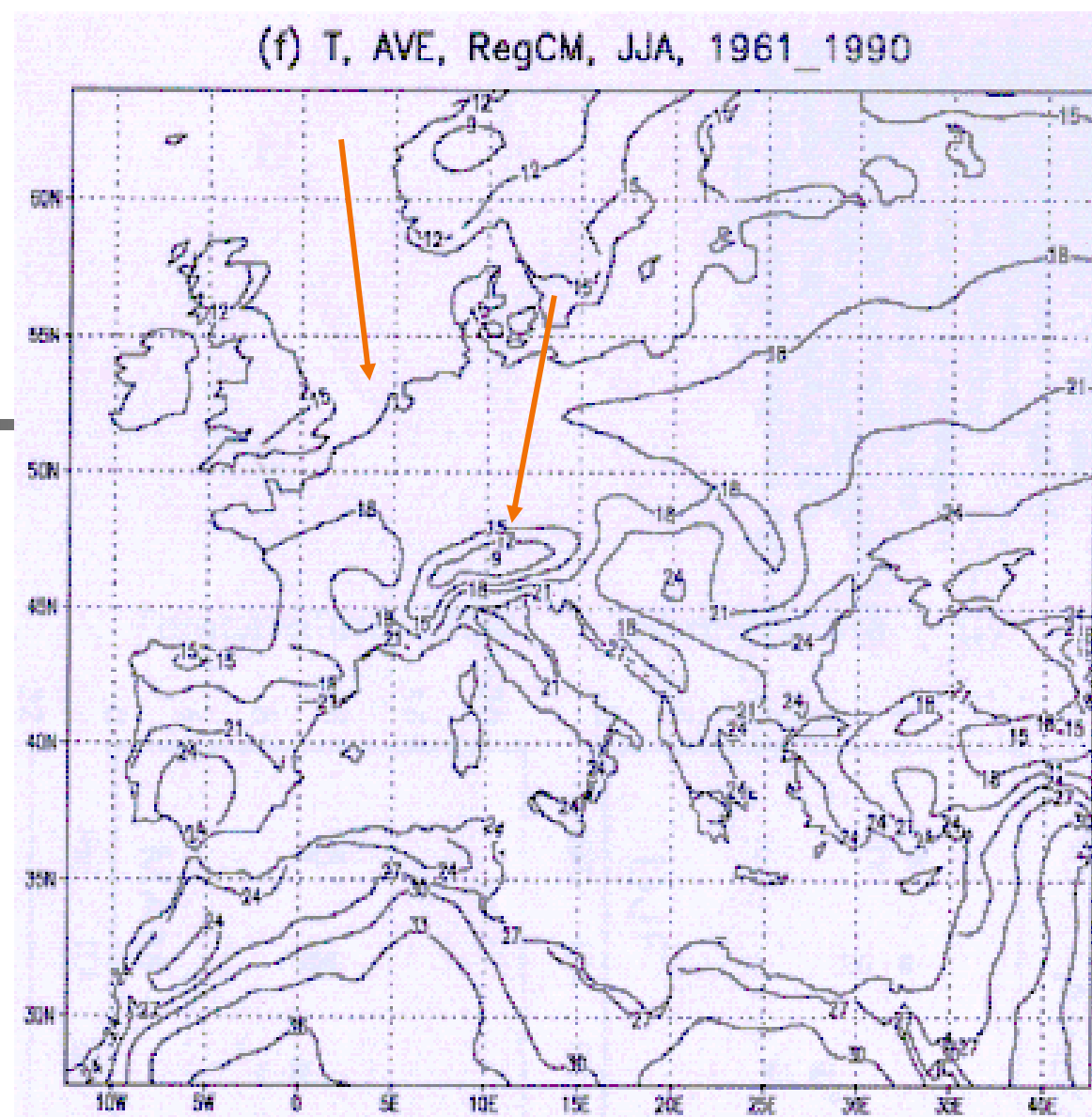
Se ocorrer um aumento da freqüência de El Ninos em cenários climáticos, este pode vir a colaborar com a diminuição da convecção sobre a região Amazônica

# Modelos Climáticos Regionais

Temperatura  
Média Verão  
61-90 (prev)



Giorgi et al.  
(2004)



# Modelos Climáticos Regionais no Brasil 2

Pisnichenko et al. (2006)



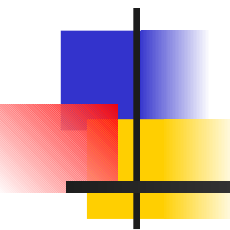
Com Eta-WS  
1ª simulação  
cenários A2 2070-  
2081

Tarasova et al. (2005)



Análise de um novo esquema de  
radiação para o modelo Eta. Foram  
obtidos bons resultados mas ainda há  
necessidade de novas calibrações do  
modelo principalmente sobre o  
continente

Com HadAM3H  
1ª simulação eta  
maior que 3 anos



**O objetivo deste trabalho é estudar possíveis alterações na variabilidade climática, em escalas desde mensais até interdecadais, do balanço de umidade para as configurações ZCAS e não- ZCAS, através de simulações do modelo regional Eta/CPTEC, para cenários climáticos futuros A2 entre 2071 e 2100.**

- caracterizar a variabilidade interna do modelo regional Eta/CPTEC;
- comparar as saídas do HadCM3 com o Eta e caracterizar o ganho da variabilidade climática usando o Eta à forçantes de mesoescala;
- avaliar os campos de precipitação (compondo o início e o final da estação chuvosa) e temperatura previstos pelo modelo Eta/CPTEC;

# **Modelos e Dados Observados**



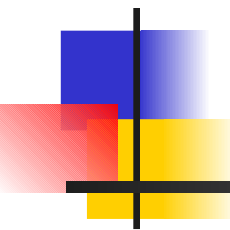
# Modelo HadAM3H

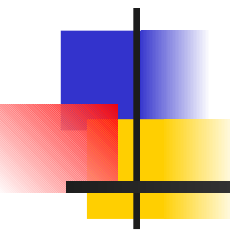
Gordon et al. (2000) e Pope et al. (2000).

- Condição de Contorno e Inicial a cada 6 horas HC
- Acoplamento atmosférico usando umes, temp, psup e u e v
- Simulação de controle (1961-1990) e nos cenários futuros (2071-2100)
- Resolução 2.5° por 3.75°
- Hidrostático, modelo de ponto de grade, com coordenada vertical de pressão híbrida, 19 níveis na vertical
- Superfície é descrito em Lean and Rowntree (1997) e inclui o MOSES um novo esquema de superfície terrestre desenvolvido por Cox et. al. (1999)
- Radiação (Edwards e Slingo, 1996) e uma simples parametrização de aerossol está também incluída (Cusack et al., 1998)
- Esquema de superfície (Cox et al., 1999). O albedo da superfície é função da profundidade da neve, tipo de vegetação e também da cobertura de neve e gelo.

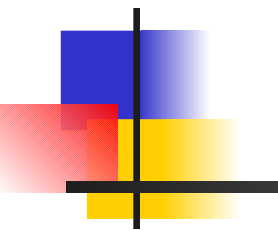
# Modelo Eta/CPTEC

Mesinger et al. (1988), Chou et al. (2000)

- 
- Simulação de controle (1961-1990) e cenários futuros (2071-2100);
  - Coordenada vertical Eta
  - Grade Horizontal E-Arakawa (50 Km)
  - Condições de Contorno Lateral e de Superfície, TSM (HadCM3) CO<sub>2</sub>, albedo, umidade do solo (Chen et al., 1997)
  - Topografia está representada por degraus discretos
  - Esquema de Precipitação é Betts e Miller (1984)
  - Troca Vertical Turbulenta Mellor-Yamada 2.5
  - Radiação de onda longa baseia-se no modelo de Lacis e Hansen (1974), enquanto a radiação de onda curta segue o modelo de Fels e Schwarzkopf (1975)



# **Metodologia 1: ajustes no Eta**



# Modificações Necessárias

- Índices de Matrizes, Vetores e Nome de Arquivos de Restart foram feitos para rodadas de poucos dias. Em outras a precisão deve aumentada: 43200 arquivos de CC e 933 milhões de segundos (30 anos) integrados a cada 96 s
- Atualização de TSM (se houver) das CC precisam ser modificada para uma renovação (no máximo) mensal;
- Algumas CC de rodadas climáticas possuem calendário de 360 e o mesmo precisa também ser o mais próximo possível;
- Renovação de CO2 para rodadas de cenários futuros;
- Para a rodada do Eta é necessária temperaturas e umidade de solo em 4 níveis e isto não veio com as CC, foram tiradas das reanálises do NCEP;

# Variabilidade Interna

- Condições de Contorno com as reanálises do NCEP
- Período escolhido para cada simulação foi de 3 anos começando a integração em 01 de janeiro de 1962 e terminando em 30 de dezembro 1964
- Será calculado o viés destas saídas do modelo Eta/CPTEC e as próprias reanálises do NCEP que serviram de condições de contorno. Através deste método é possível identificar as áreas com erros sistemáticos nas variáveis do modelo Eta

## Simulação de Controle (61-90)

- Período de 01 de janeiro de 1961 até 30 de dezembro de 1990
- Serão usadas as saídas do HadAM3H a cada 6 horas
- Serão calculados coeficientes de correlação, desvio padrão e erro quadrático médio destes resultados com relação às reanálises e com as próprias condições de contorno do HC.
- a temperatura à 2 metros e a precipitação serão comparados com os dados do CRU. Será usada como normal climatológica no estudo das simulações com condições climáticas futuras.

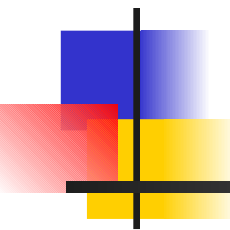
# Cenários futuros

- Para os cenários climáticos futuros A2 o Eta/CPTEC será adaptado para leitura dos valores de dados da tabela a seguir e, foram cedidos para este trabalho e são os mesmos valores lidos pelos modelos HadCM3, HadAM3P e PRECIS.
- 1º. de janeiro de 2071 indo até 30 de dezembro de 2100 sempre usando as condições de contorno superficiais e laterais do HC a cada 6 horas
- Estes campos serão comparados com a climatologia do modelo Eta/CPTEC (1961-1990) e com as próprias condições de contorno. Estas diferenças iram eliminar o erro sistemático do modelo apresentando apenas as previsões do modelo Eta/CPTEC

# Valores de CO<sub>2</sub> para cenários futuros

Ano	A2	B2
1960	4.81400e-04	4.81400e-04
1970	4.94800e-04	4.94800e-04
1980	5.14800e-04	5.14800e-04
1990	5.33400e-04	5.33400e-04
2000	5.57200e-04	5.57200e-04
2010	5.90000e-04	5.89300e-04
2020	6.31000e-04	6.23900e-04
2030	6.81900e-04	6.57800e-04
2040	7.38800e-04	6.90900e-04
2050	8.00400e-04	7.24500e-04
2060	8.68300e-04	7.58800e-04
2070	9.43200e-04	7.94800e-04
2080	1.02800e-03	8.32300e-04
2090	1.12700e-03	8.73200e-04
2100	1.24400e-03	9.17100e-04

Fonte: Hassell, (2006); Unidade: Massa de CO<sub>2</sub>/massa de ar

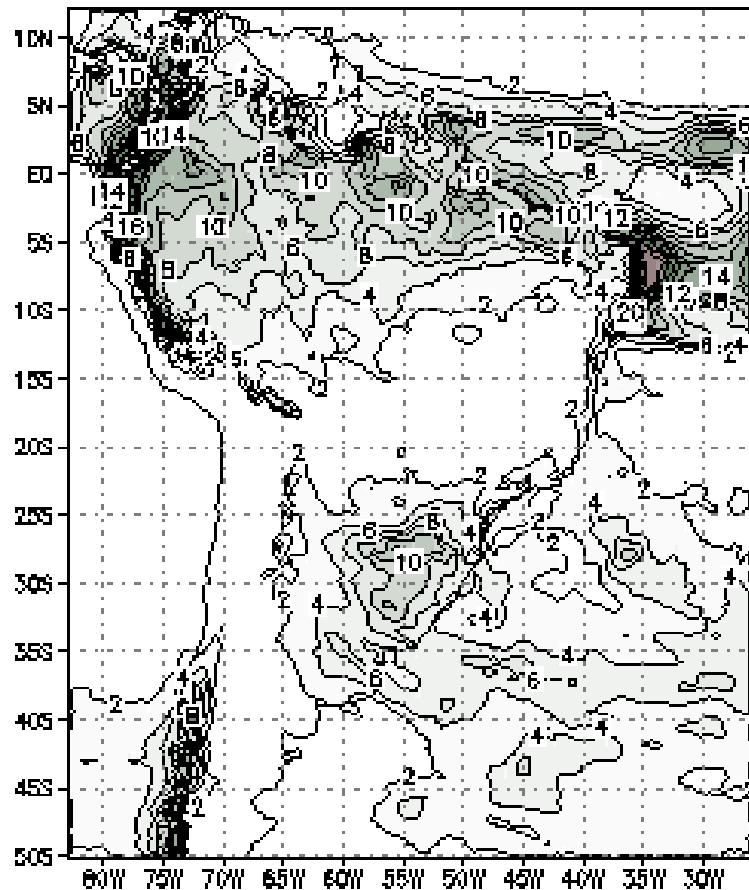


# Análise dos resultados

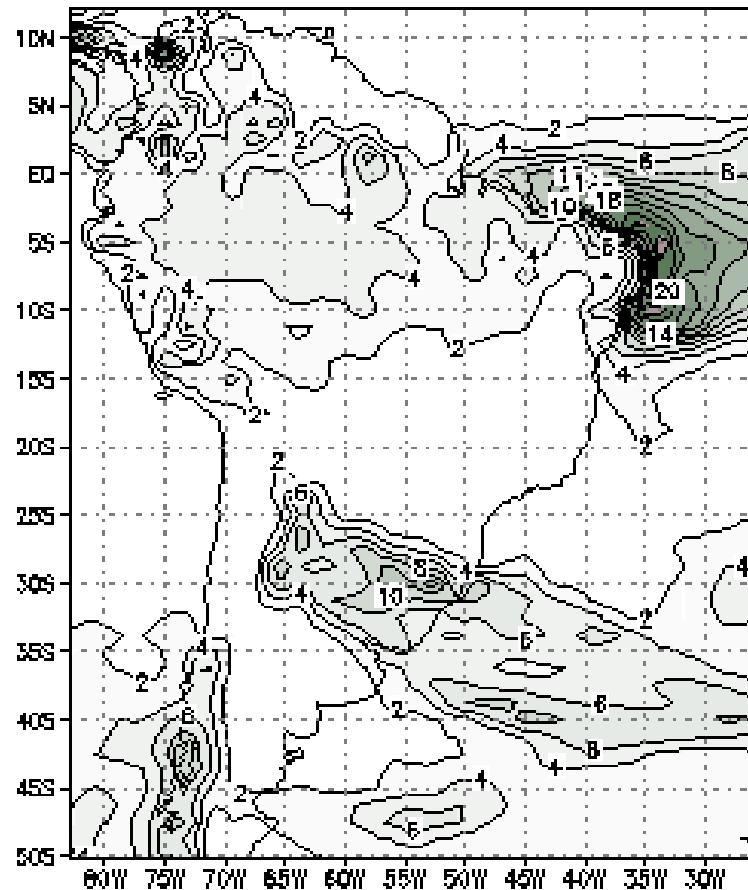
---

# Metodologia 2: análise da precipitação

Ave Prec Eta Apr/61 (mm/dia)

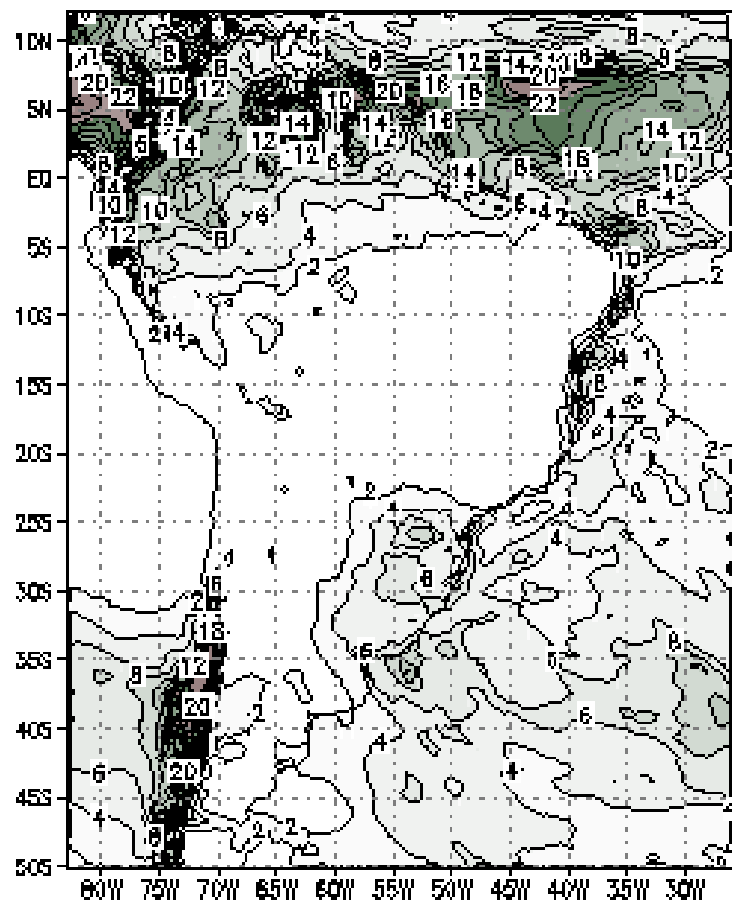


Ave Prec HC Apr/61 (mm/dia)

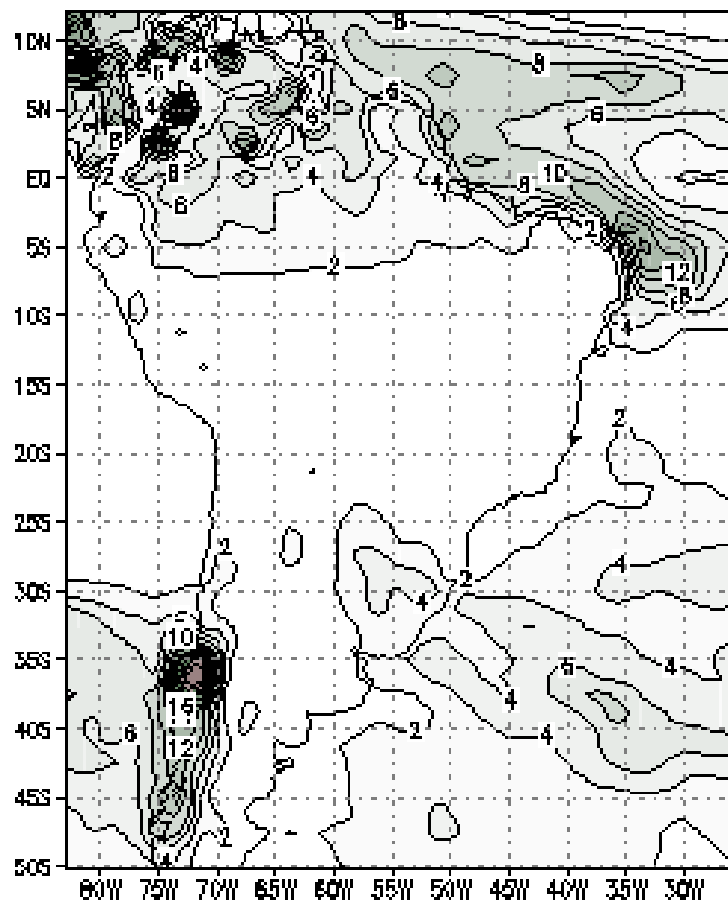


# Metodologia 2: análise da precipitação

Ave Prec Eta Jun/61 (mm/dia)

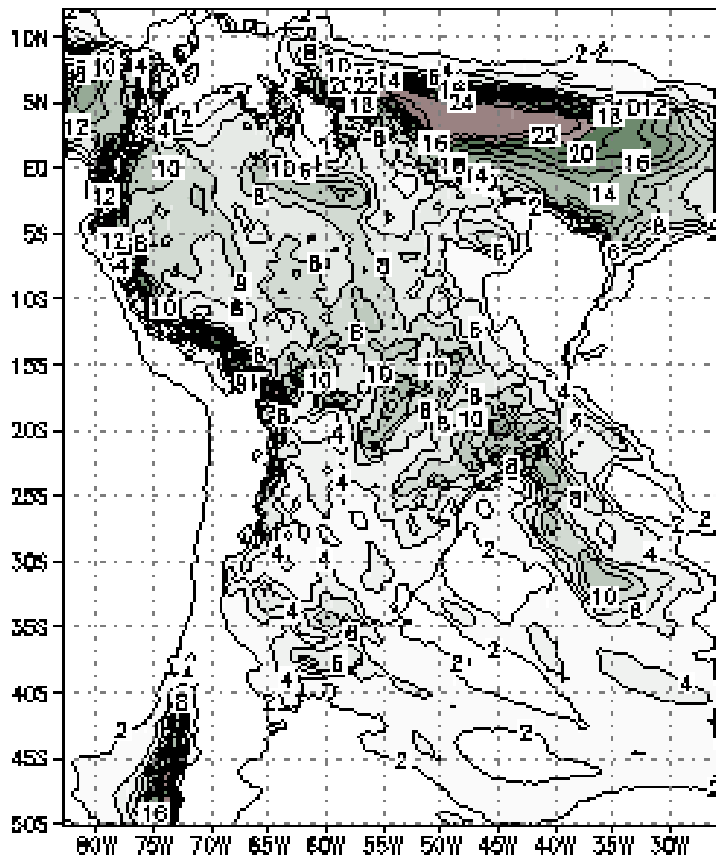


Ave Prec HC Jun/61 (mm/dia)

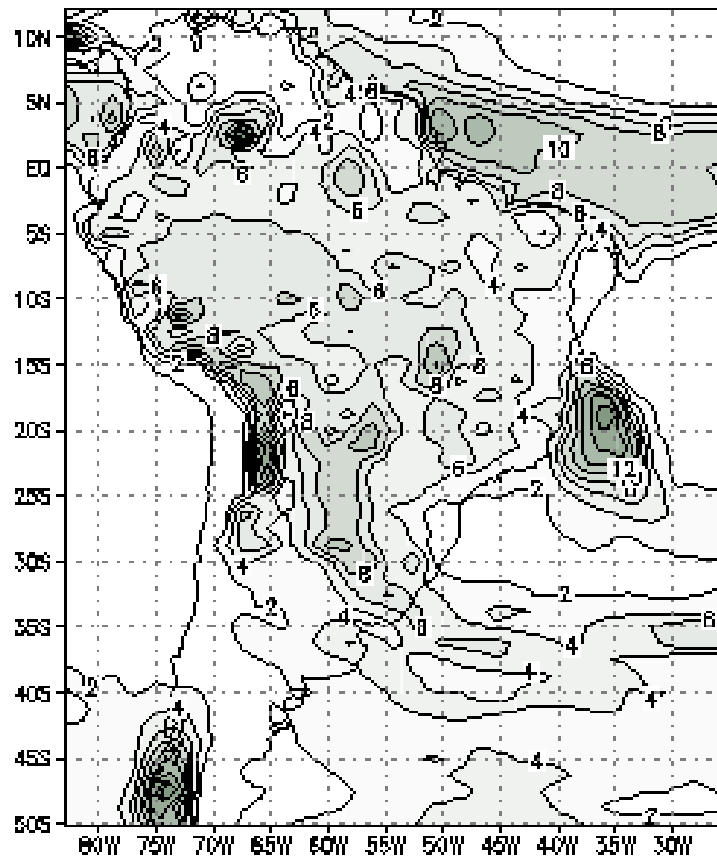


# Metodologia 2: análise da precipitação

Ave Prec Eta Jan/61 (mm/dia)



Ave Prec HC Jan/61 (mm/dia)

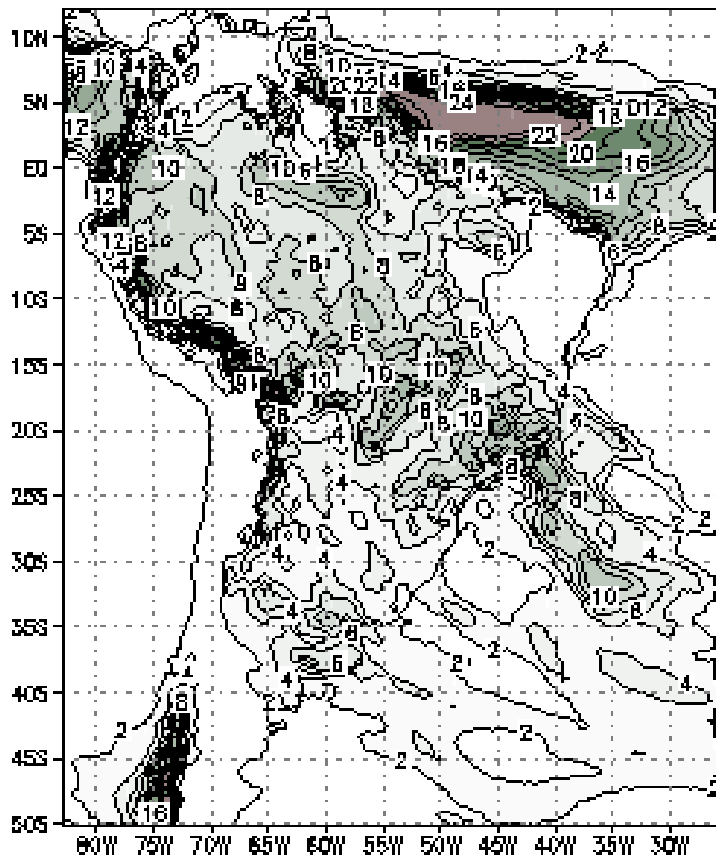


GRADS: COL/16ES

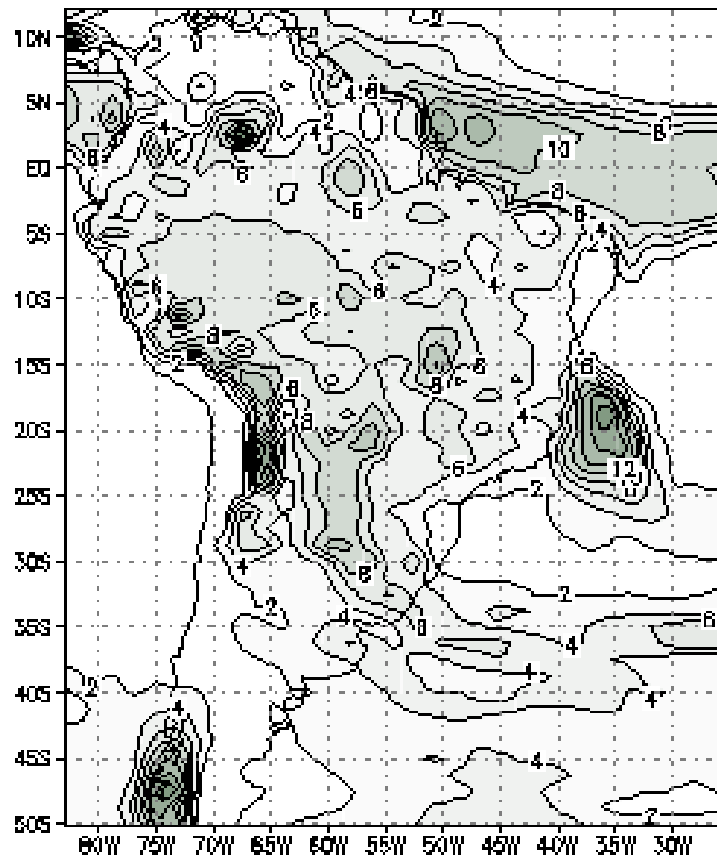
GRADS: COL/16ES

# Metodologia 2: análise da precipitação

Ave Prec Eta Jan/61 (mm/dia)



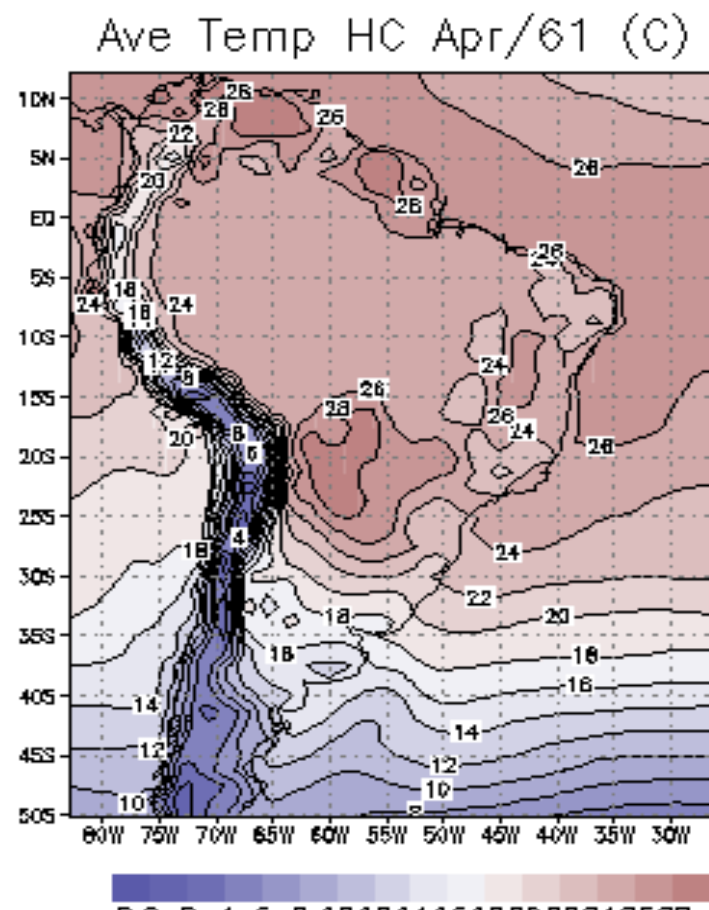
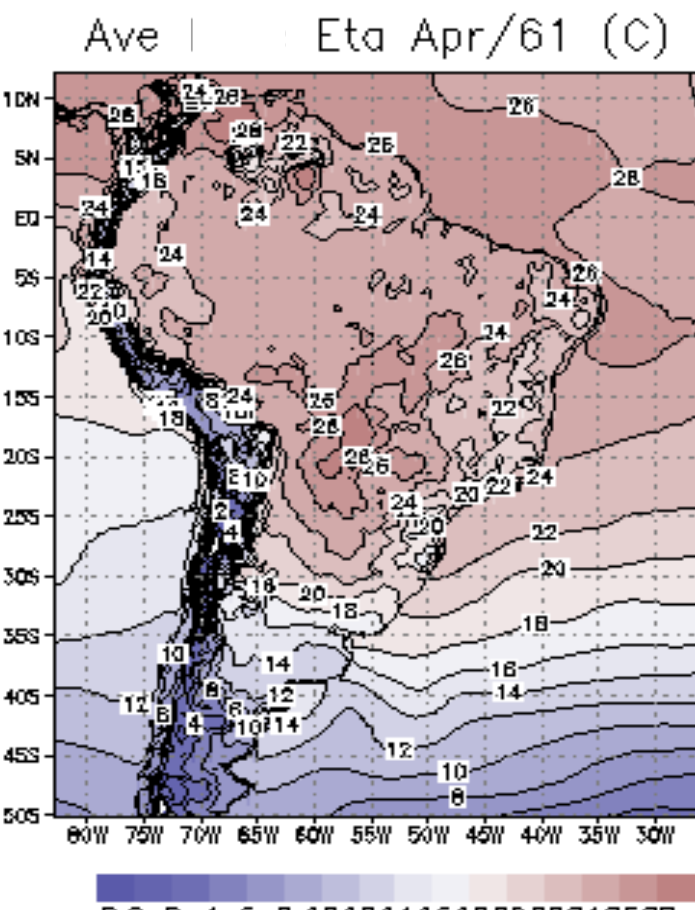
Ave Prec HC Jan/61 (mm/dia)



GRADS: COL/16ES

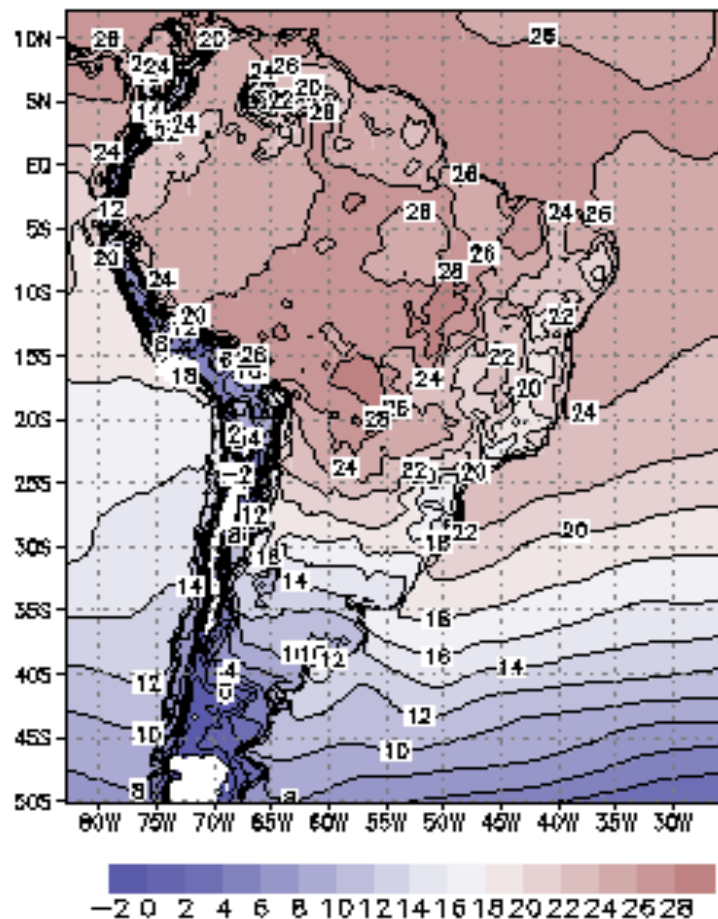
GRADS: COL/16ES

# Metodologia 2: análise da temperatura

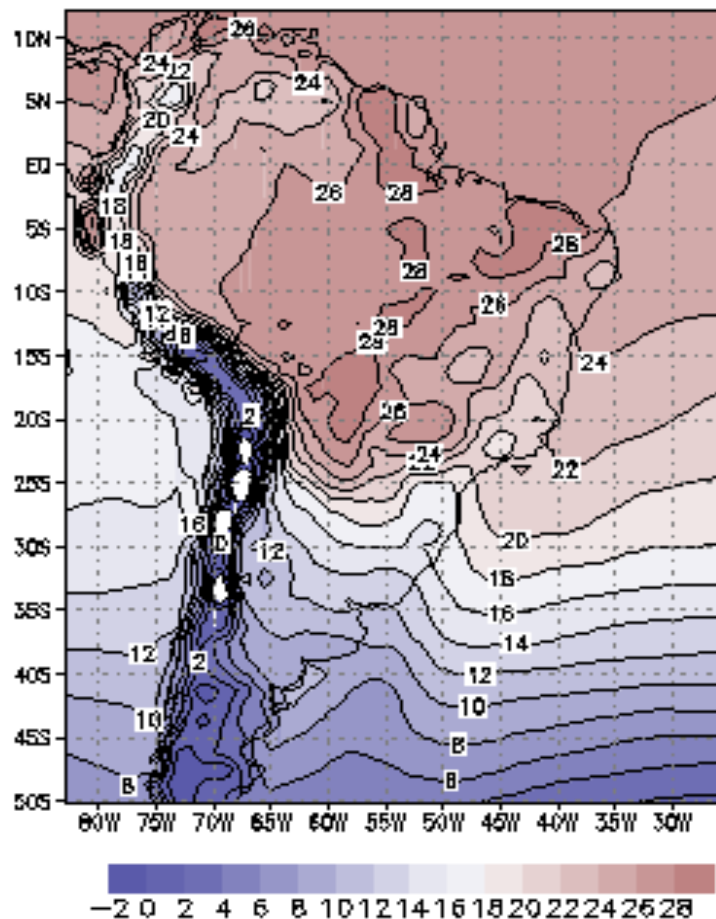


# Metodologia 2: análise da temperatura

Ave Eta Aug/61 (C)



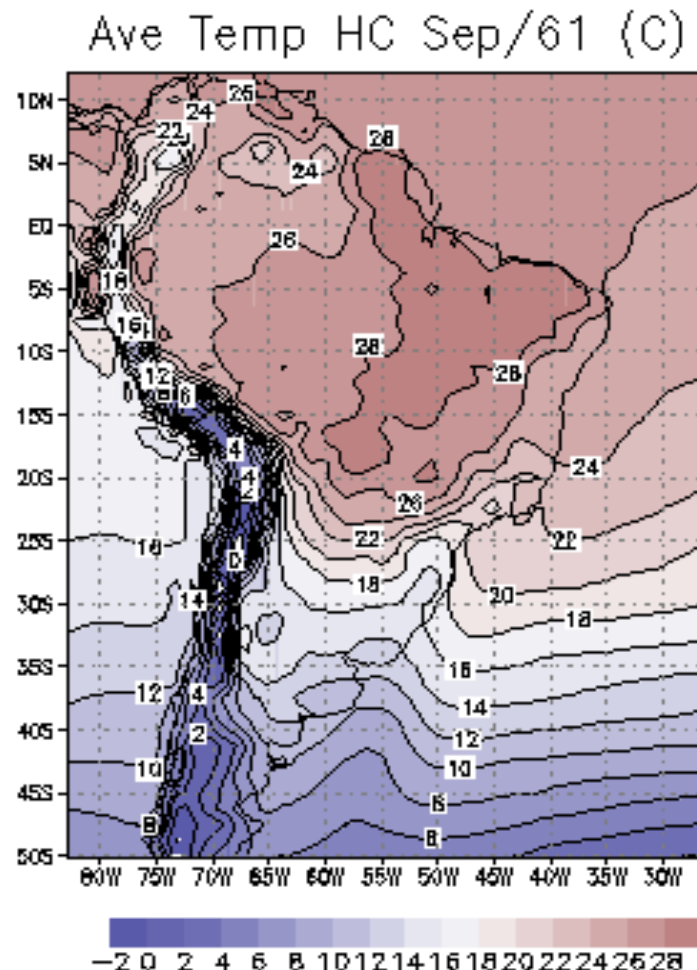
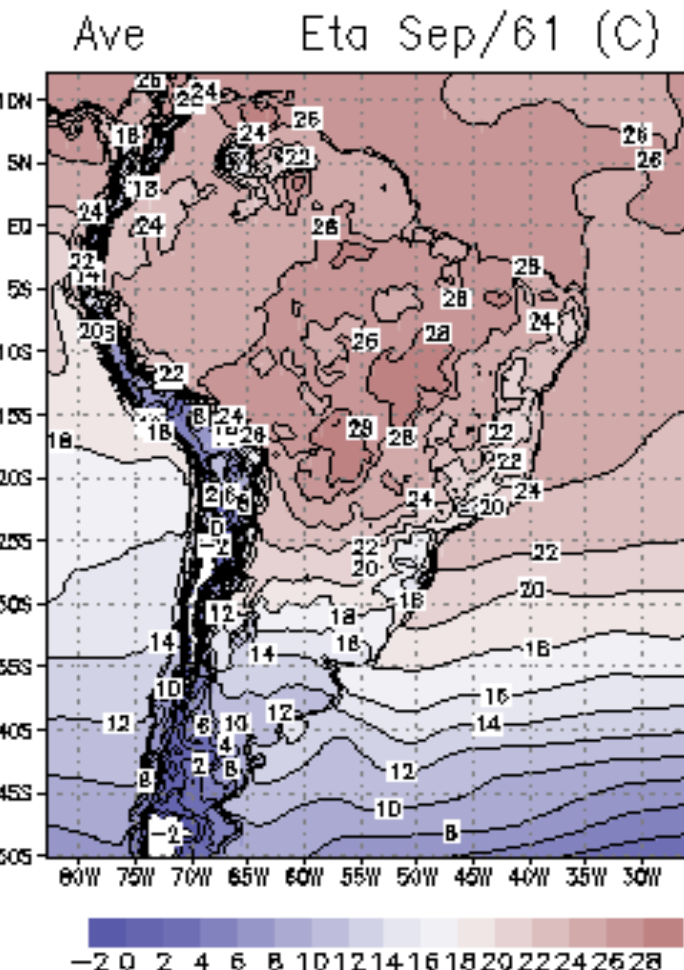
Ave Temp HC Aug/61 (C)



GrADS: COLA/IBES

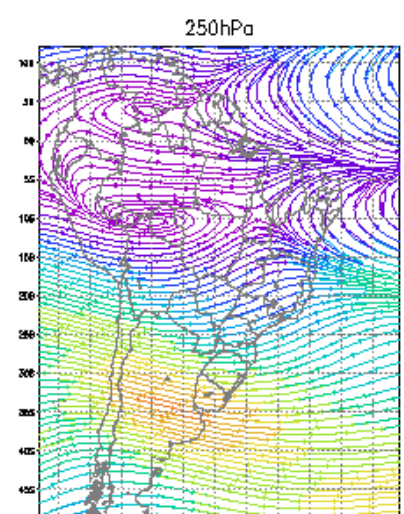
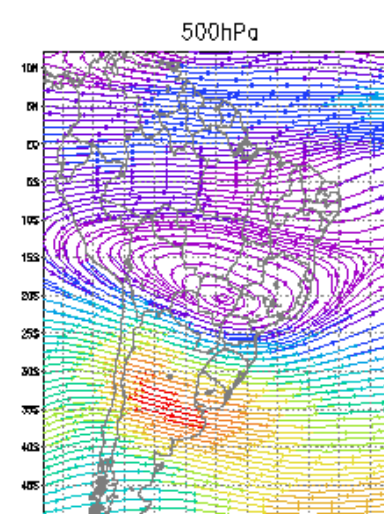
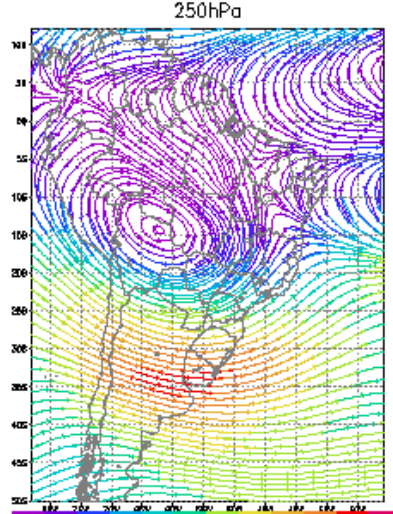
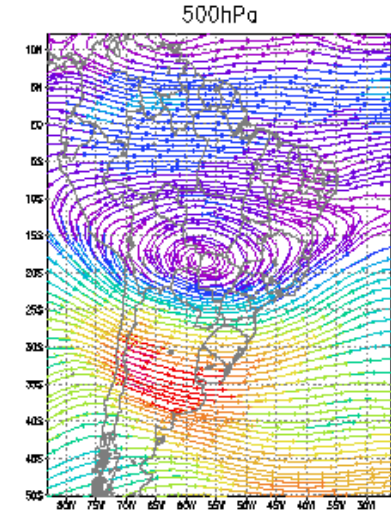
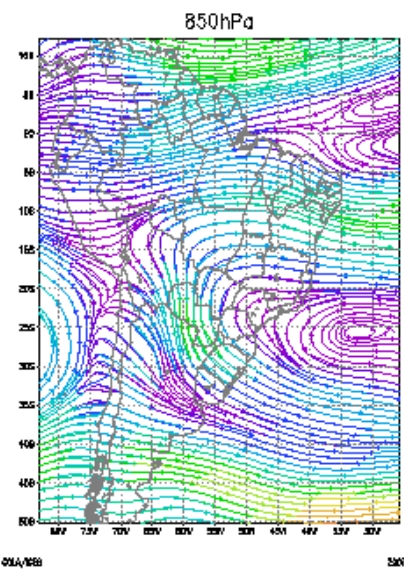
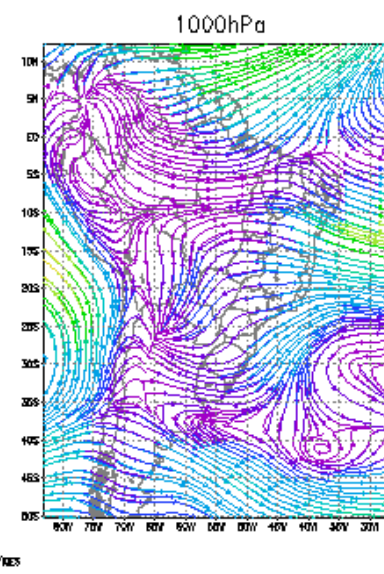
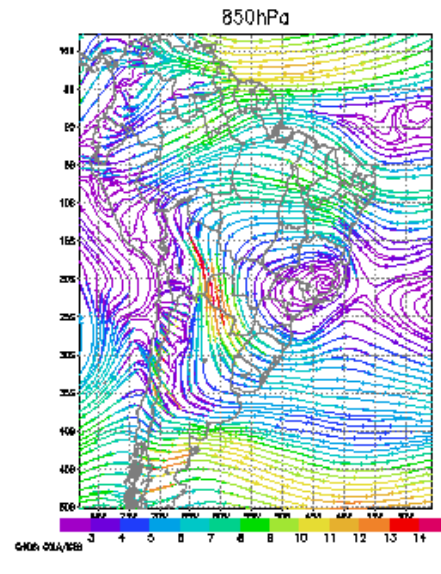
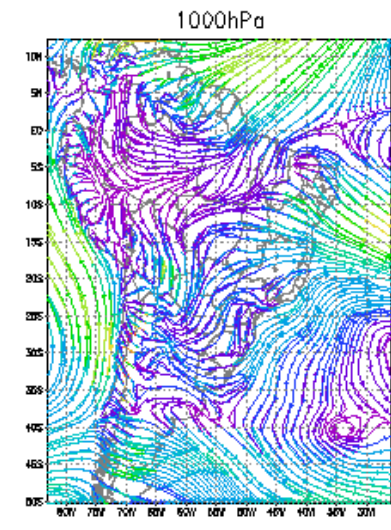
GrADS: COLA/IBES

# Metodologia 2: análise da temperatura



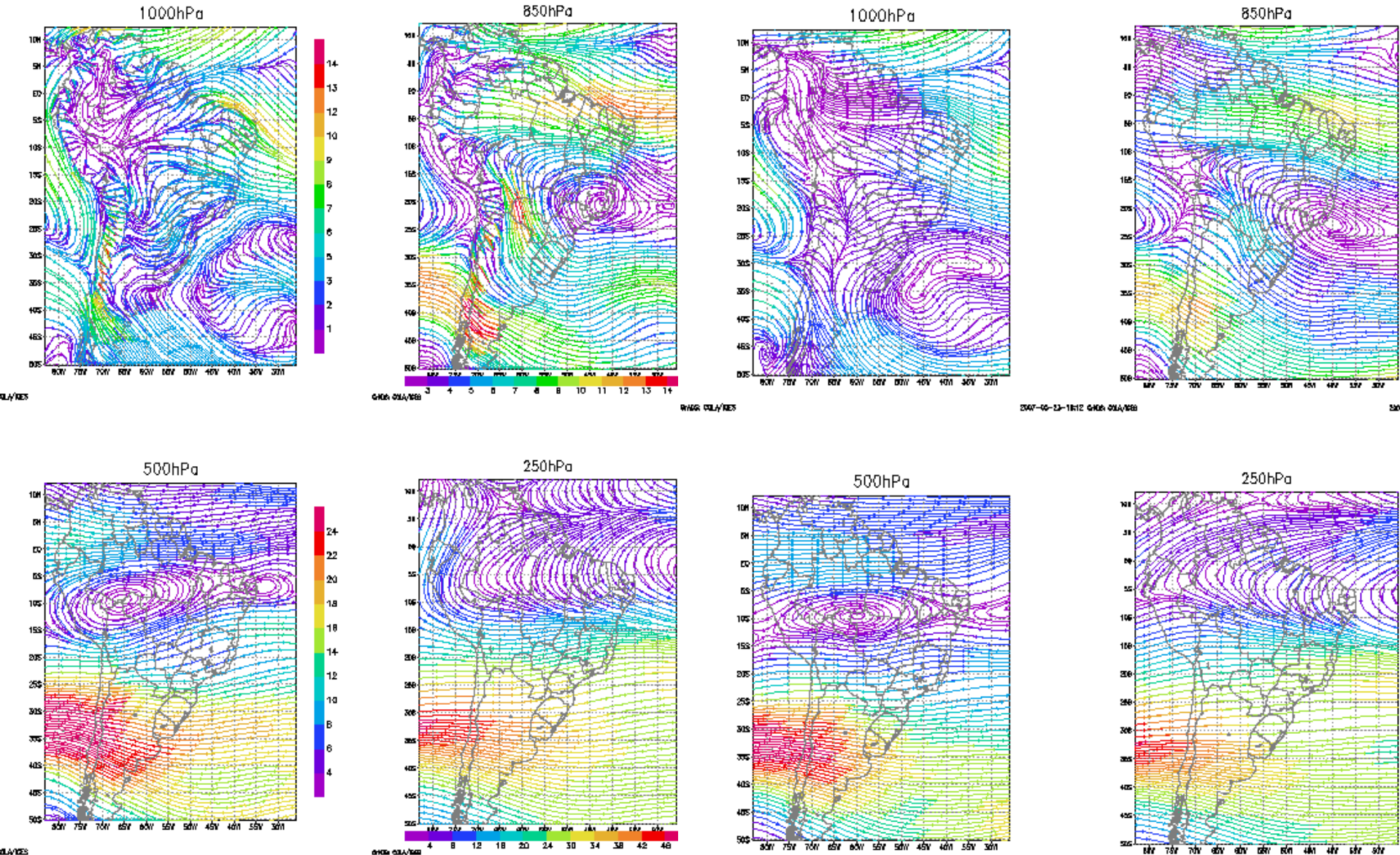
# Metodologia 2: análise da escoamento

Mean Stream Line and Mag (m/s) ETA(40km) (HC) apr/61



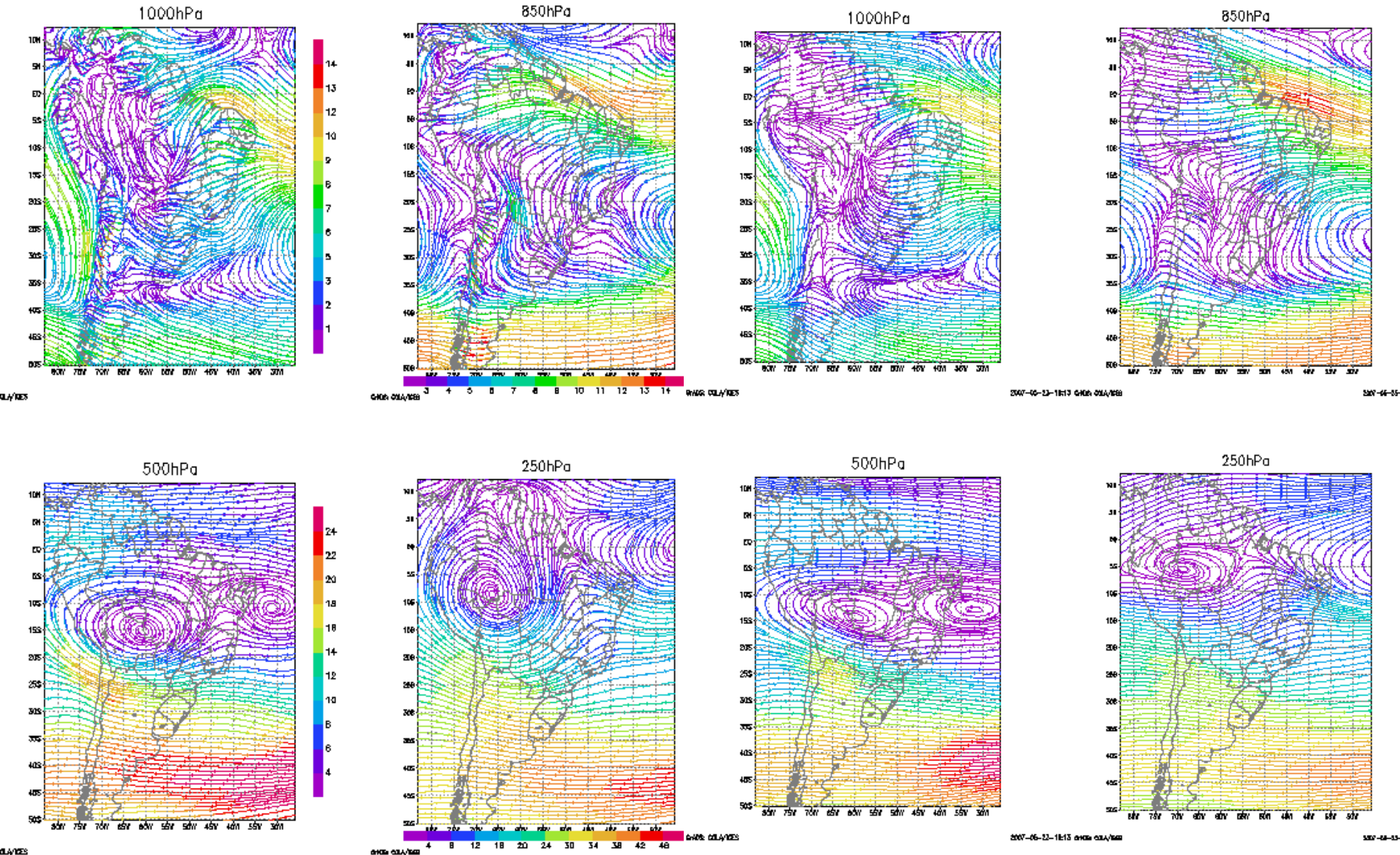
# Metodologia 2: análise da escoamento

Mean Stream Line and Mag (m/s) ETA(40km) (HC) jun/61



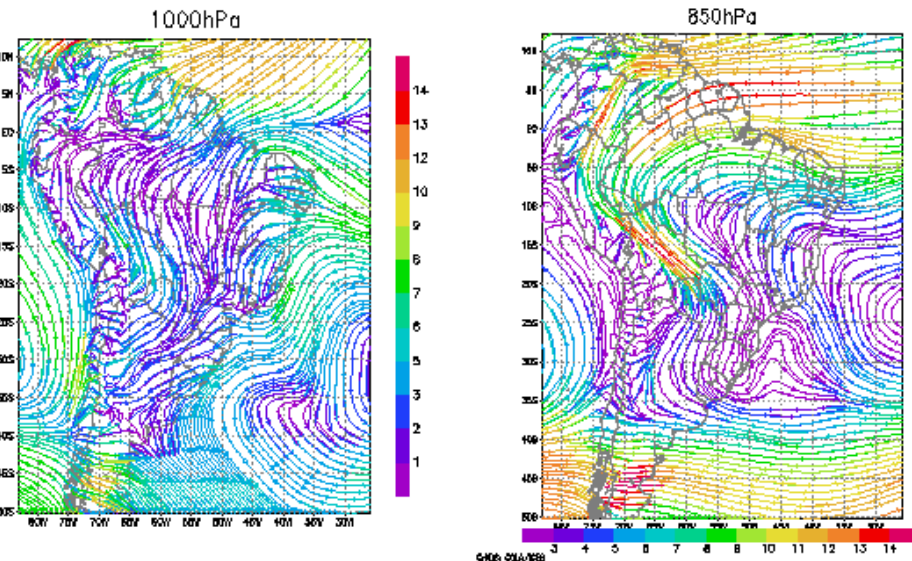
# Metodologia 2: análise da escoamento

Mean Stream Line and Mag (m/s) ETA(40km) (HC) sep/61

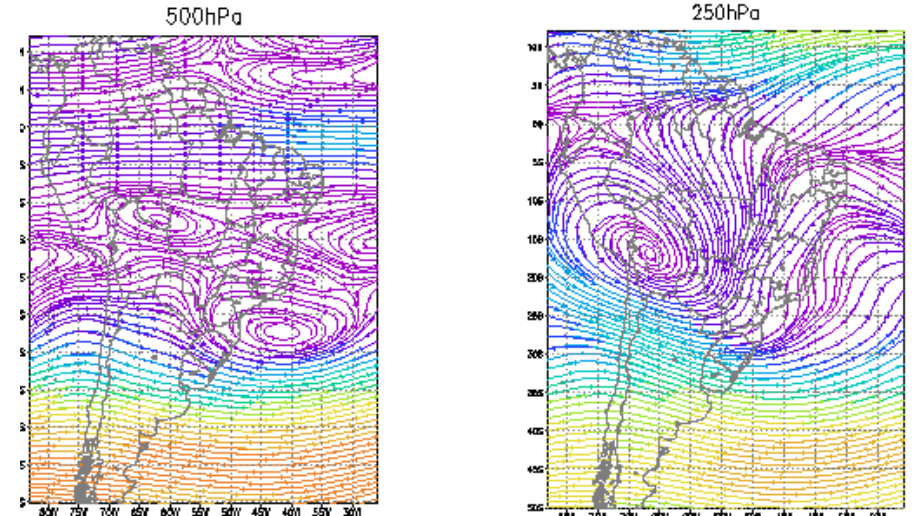
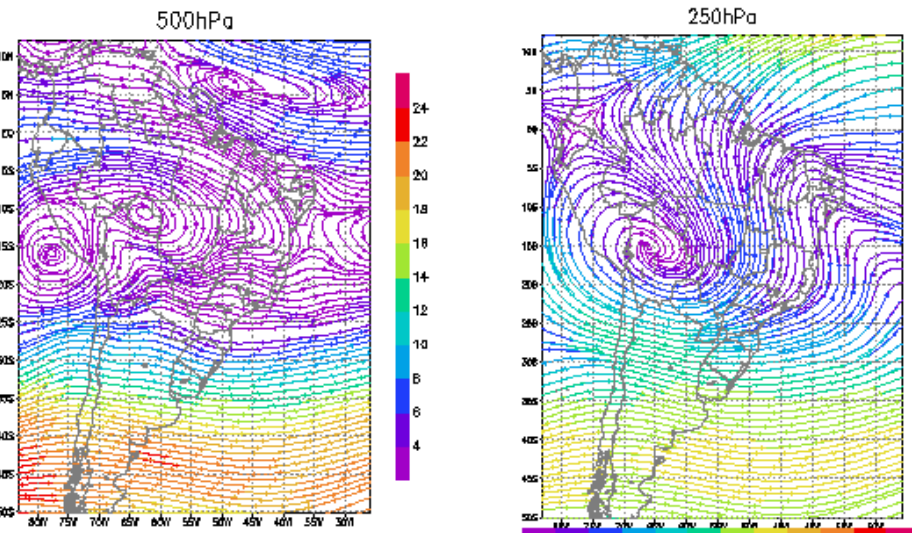
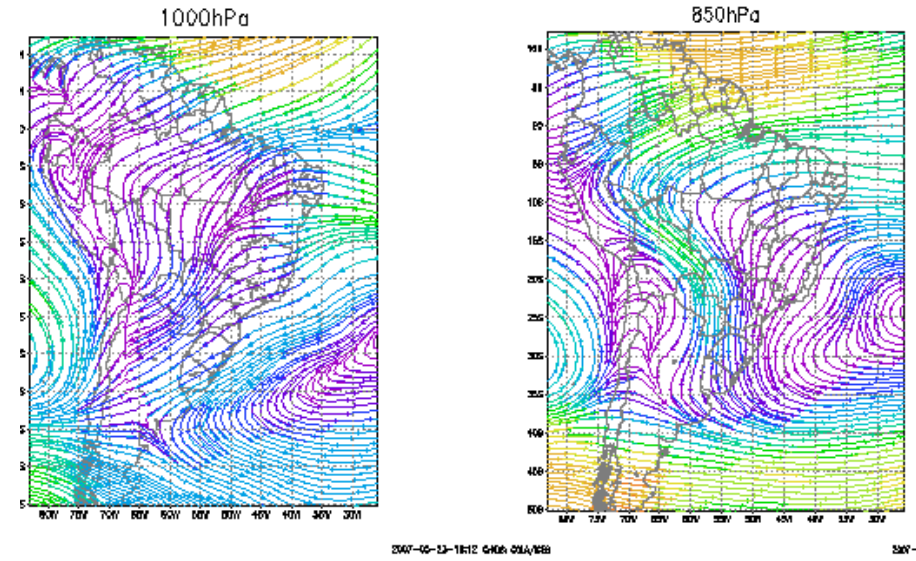


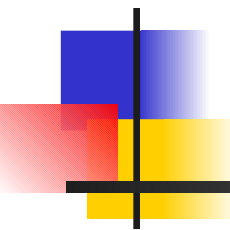
# Metodologia 2: análise da escoamento

Mean Stream Line and Mag (m/s) ETA(40km) (HC) jan/61



Mean Stream Line HC jan/61





# Conclusões:

- As comparações iniciais mostraram o modelo Eta bem correlacionado com as condições de contorno;
- O modelo Eta mostrou maiores detalhes principalmente sobre a região continental;
- Os próximos passos serão cálculos estatísticos de algumas variáveis destes resultados com os dados do CRU;

## Obrigado!